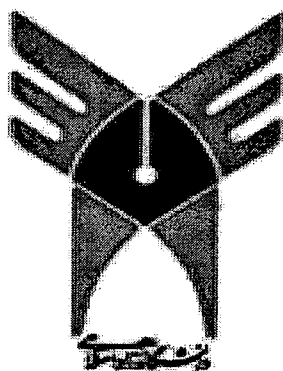


بِسْمِ اللَّهِ الرَّحْمَنِ الرَّحِيمِ



دانشگاه آزاد اسلامی

واحد شاهرود

دانشکده علوم پایه، گروه شیمی

پایان نامه برای دریافت درجه کارشناسی ارشد «M.Sc»

گرایش: شیمی فیزیک

عنوان:

بررسی ساختاری کنفورمرهای مختلف تری پپتید محافظت شده

HCO-Gly-L-ILeu-Gly-NH₂ در فاز گازی با استفاده از محاسبات کوانتومی

استاد راهنما:

دکتر بهزاد چهکندی

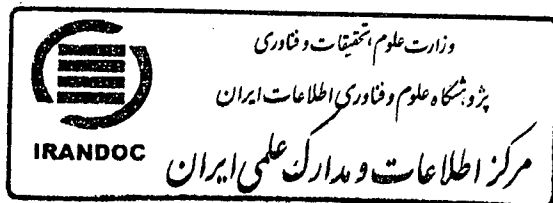
استاد مشاور:

دکتر جعفر ابولی

نگارش:

بنت الهدا اشرفی

تابستان ۱۳۸۹



ب

۱۵۸۰۸۲

۳۹۰ / ۴ /





دانشگاه آزاد اسلامی

واحد شاهرود

دانشکده علوم پایه، گروه شیمی

پایان نامه برای دریافت درجه کارشناسی ارشد « M.Sc. »

گرایش: شیمی فیزیک

عنوان:

بررسی ساختاری کنفورمرهای مختلف تری پتید محافظت شده

$\text{HCO-Gly-L-ILE-Gly-NH}_2$ در فاز گازی با استفاده از محاسبات مکانیک کوانتومی

نگارش:

بنت الهدا اشرفی

تابستان ۱۳۸۹

۱. دکتر بهزاد چهکنلی

۲. دکتر جعفر ابولی

۳. دکتر احسان زاهدی

۴. دکتر فرامرز طیاری

هیأت داوران :

خداوندا

توفیقت را شامل حال ما فرما تا با صدق نیت به بندگی تو قیام

کنیم

و

زندگانی خود را در این دنیای رو به زوال بیهوده استهلاک

نماییم.

شوق آموختن را آموزگار خوب برمی‌انگیزد و با این شوق چراغی در

دل شاگردان روشن می‌شود که راهنمای راهشان خواهد بود.

سپاس فراوان از

استاد بزرگوار "جناب آقای دکتر بهزاد چهکندهی"

برای تمام راهنماییها و پشتیبانیهایشان

و

استاد بزرگوار "جناب آقای دکتر جعفر ابولی"

برای رهنمودهایشان در این مسیر

تقدیم به

**تمام آنان که به من آموخته‌اند و به راه و رسم بودن
وزیستن رهنمونم کردند.**

و

تقدیم به

پدرم

مشوق مهربان و همیشگی در علم و دانش

مادرم

اولین و بهترین معلم در طول زندگی

خواهرم

همراه لحظه‌های تلخ و شیرین

فهرست مطالب

صفحه	عنوان
۱	چکیده
	فصل اول: ساختار پروتئین
۳	۱-۱- مقدمه
۳	۱-۲- ترکیب بدن انسان
۳	۱-۳- زیست مولکولها و زیست بسپارها
۴	۱-۴- قدمت اسیدهای آمینه
۵	۱-۵- ساختار اسیدهای آمینه
۶	۱-۶- اسیدهای آمینه استاندارد
۷	۱-۷- اسیدهای آمینه غیراستاندارد
۸	۱-۸- اسیدهای آمینه ضروری
۸	۱-۹- اسیدهای آمینه غیر ضروری
۸	۱-۱۰- اهمیت زیست- پزشکی اسیدهای آمینه
۹	۱-۱۱- تهیه اسیدهای آمینه
۹	۱-۱۱-۱- آمیندار کردن α - هالواسیدها
۹	۱-۱۱-۱-۱- روش هل - ولهارد - زلینسکی
۱۰	۱-۱۱-۱-۲- روش مالونیک استر
۱۰	۱-۱۲- ایزومری در اسیدهای آمینه
۱۱	۱-۱۳- بارالکتریکی اسیدهای آمینه
۱۲	۱-۱۴- ثابت تفکیک اسیدهای آمینه
۱۲	۱-۱۴-۱- رابطه ثابت تفکیک (pK) با عوامل جانبی

- ۱۳-۱- نقطه ایزوالکتریک
- ۱۴-۱- حلالیت و نقطه ذوب اسیدهای آمینه
- ۱۵-۱- اهمیت ریشه‌های کربنی جانبی (R)
- ۱۵-۱-۱- گروه های R آلیفاتیک و غیرقطبی
- ۱۶-۱-۲- گروه های R آروماتیک
- ۱۷-۱-۳- گروه های R قطبی و بدون بار
- ۱۷-۱-۴- گروه های R بازی (با بار مثبت)
- ۱۷-۱-۵- گروه های R اسیدی (با بار منفی)
- ۲۱-۱- واکنشهای شیمیایی مهم اسیدهای آمینه
- ۱۹-۱- پپتیدها
- ۲۰-۱- اهمیت زیست - پزشکی پپتیدها
- ۲۱-۱- پیوندهای پپتیدی
- ۲۲-۱- ساختمان اولیه پلی پپتیدها
- ۲۳-۱- بار الکتریکی مؤثر پپتیدها
- ۲۴-۱- استحکام پیوندهای پپتیدی
- ۲۵-۱- پیوندهای غیر کووالان
- ۲۶-۱- روشهای مطالعه ساختار اولیه
- ۲۷-۱- ساختار دوم پروتئینها
- ۲۷-۱-۱- ساختار چیندار
- ۲۷-۱-۲- ساختار مارپیچی
- ۲۸-۱- پیوندهای ضعیف
- ۲۸-۱-۱- پیوندهای ضعیف دارای دو نقش زیستی بسیار مهم هستند

۲۸	۲۹-۱- ساختار سوم زنجیره پلی پیتیدی (ساختمان سه بعدی)
۲۸	۱-۲۹-۱- رابطه براگ
۲۹	۳۰-۱- ساختار چهارم یک پروتئین " پیوند زنجیرهای پلی پیتیدی "
۳۰	۳۱-۱- دگرگونی پروتئینها
۳۰	۱-۳۱-۱- درجه حرارت بالا
۳۰	۱-۳۱-۲- اسیدها و بازها
۳۰	۱-۳۱-۳- حلالهای آلی
۳۱	۱-۳۱-۴- اوره و گوانیدین
۳۱	۳۲-۱- طبقه بندی پروتئینها
۳۱	۱-۳۲-۱- پروتئینهای ساده
۳۱	۱-۳۲-۱-۱- پروتئینهای کروی
۳۱	۱-۳۲-۲- پروتئینهای رشته ای
۳۱	۱-۳۲-۲- پروتئینهای ترکیبی
۳۳	۳۳-۱- سنتز پیتیدها
۳۳	۳۴-۱- شکل هندسی پیوند پیتیدی
۳۵	۳۵-۱- طرح رامچاندران

فصل دوم: تحقیق پیرامون پیتیدها

۴۰	۱-۲- مقدمه
----	------------

۴۰	۲-۲- مطالعات انجام شده بر روی تری پیتیدها
----	---

فصل سوم: روشهای محاسباتی در شیمی کوانتومی

۵۰	۱-۳- مقدمه
----	------------

۵۱	۲-۳- نرم افزارهای شیمی کوانتومی
----	---------------------------------

۵۱	Gaussian-۱-۲-۳
۵۱	Gamess-۲-۲-۳
۵۱	Columvus-۳-۲-۳
۵۱	Startan- ۴-۲-۳
۵۱	Argus-۵-۲-۳
۵۲	Mopac-۶-۲-۳
۵۲	۳-۳- بهینه سازی هندسی
۵۲	۴-۳- دسته بندی شیمی محاسباتی
۵۳	۱-۴-۳- مکانیک مولکولی
۵۴	۲-۴-۳- روشهای ساختار الکترونی
۵۴	۵-۳- طبقه بندی روشهای کوانتومی
۵۴	۱-۵-۳- روش محاسبات آغازین
۵۵	۱-۱-۵-۳- روش هارتری فاک
۵۷	۲-۱-۵-۳- گرادیان و مشتقات مرتبه دوم هارتری-فاک
۵۷	۳-۱-۵-۳- روش هارتری-فاک محدود شده (RHF) و غیر محدود شده (UHF)
۵۷	۴-۱-۵-۳- روشهای همبستگی الکترون
۵۸	۱-۴-۱-۵-۳- تئوری اختلال مولر پلست
۶۰	۲-۴-۱-۵-۳- برهمکنش پیکربندی (CI)
۶۱	۳-۴-۱-۵-۳- میدان خود سازگار چند آرایشی
۶۲	۴-۴-۱-۵-۳- برهمکنش پیکربندی چند مرجعی (MRCI)
۶۲	۵-۴-۱-۵-۳- خوشه‌های جفت شده
۶۳	۲-۱-۵-۳- تواناییهای روش Ab initio

۶۵	۲-۵-۳- روشهای نیمه تجربی
۶۶	۱-۲-۵-۳- هوکل
۶۶	۲-۲-۵-۳- هوکل بسط یافته
۶۷	۳-۲-۵-۳- PPP
۶۷	۴-۲-۵-۳- CNDO
۶۷	۵-۲-۵-۳- MINDO
۶۸	۶-۲-۵-۳- MNDO
۶۹	۷-۲-۵-۳- INDO
۶۹	۸-۲-۵-۳- ZINDO
۶۹	۹-۲-۵-۳- SINDO
۷۰	۱۰-۲-۵-۳- PRDDO
۷۰	۱۱-۲-۵-۳- AM _۱
۷۱	۱۲-۲-۵-۳- PM _۳
۷۱	۱۳-۲-۵-۳- PM _۳ /TM
۷۲	۳-۵-۳- نظریه تابعیت چگالی
۷۲	۱-۳-۵-۳- روشها
۷۶	۲-۳-۵-۳- انتخاب تابع
۷۷	۶-۳- سربهای پایه

فصل چهارم: محاسبات و نتایج

۸۲	۱-۴- مقدمه
۸۲	۲-۴- روش کار
۸۳	۳-۴- تعیین صورتبندیهای حاصل از چرخش زنجیر جانبی χ

- ۹۲ -۴-۴ بررسی صورتبندیهای اولین زاویه زنجیر جانبی (χ_1)
- ۱۰۰ -۵-۴ بررسی صورتبندیهای دومین زاویه زنجیر جانبی (χ_2)
- ۱۱۹ -۶-۴ بررسی زوایای دو وجهی و زاویه پیوندی زنجیر جانبی
- ۱۲۰ -۷-۴ تعیین صورتبندیهای حاصل از چرخش زوایای دو وجهی اسکلت
- ۱۳۰ -۱-۷-۴ بررسی پایداری زوایای Φ_1
- ۱۴۲ -۲-۷-۴ بررسی پایداری زاویه Ψ_1
- ۱۵۴ -۳-۷-۴ بررسی پایداری زاویه Φ_2
- ۱۶۵ -۴-۷-۴ بررسی پایداری زاویه Ψ_2
- ۱۷۵ -۵-۷-۴ بررسی پایداری زاویه Φ_3
- ۱۸۶ -۶-۷-۴ بررسی زاویه Ψ_3
- ۸-۴ بررسی نقشه های رامان چاندران برای

تری پپتید $\text{HCO-GLY-L-ILE-GLY-NH}_2$

۱۸۱
۲۰۹

نتیجه گیری

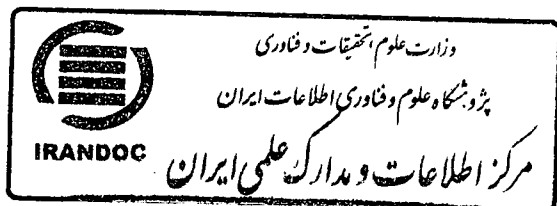
منابع

۲۱۰
۲۱۳
۲۱۸

فهرست منابع فارسی

فهرست منابع غیر فارسی

چکیده انگلیسی



فهرست جدولها

صفحه	عنوان
۷	جدول ۱-۱- اسیدهای آمینه استاندارد در ساختار پروتئینها
۳۸	جدول ۲-۱- مقادیر زوایای دو وجهی ایده آل برای هر یک از کنفورمرهای مربوط به نقشه رامچاندران
۴۲	جدول ۱-۲- برخی زوایای دای هدرال و مقادیر انرژی برای تغییرات اولین گلايسين
۴۲	جدول ۲-۲- برخی زوایای دای هدرال و مقادیر انرژی برای تغییرات گلايسين مرکزی
۴۲	جدول ۳-۲- برخی زوایای دای هدرال و مقادیر انرژی برای تغییرات گلايسين انتهایی
	جدول ۴-۲- مقادیر انرژی الکتریکی، آنتالپی، انرژی آزاد گیبس و آنتروپی
۴۳	$\text{HCO-Gly-Gly-Gly-NH}_2$ در سطح RHF/۶-۳۱G(d,p)
	جدول ۵-۲- صورتبندیهای بهینه شده برای $\text{HCO-Gly-Gly-Gly-NH}_2$ در سطح
۴۴	RHF/۶-۳۱G(d,p)
	جدول ۶-۲- خلاصه انرژیهای کل، مرتبط با زوایای دای هدرال برای
۴۶	N-Ac-D-Ala-Gly[β]-L-Ala-NH-Me
	جدول ۷-۲- خلاصه انرژیهای کل، مرتبط با زوایای دای هدرال برای
۴۶	N-Ac-D-Ala-Gly[β]-L-Ala-NH-Me
	جدول ۸-۲- طول پیوندهای C-H و زوایای پیوندی N-C α -CO برای
۴۶	N-Ac-D-Ala-Gly[β]-L-Ala-NH-Me
	جدول ۹-۲- طول پیوندهای C-H و زوایای پیوندی N-C α -CO برای
۴۷	N-Ac-L-Ala-Gly[β]-L-Ala-NH-Me
۷۵	جدول ۱-۳: انواع روشهای DFT همراه با علائم و اختصارات آنها
	جدول ۱-۴- مقادیر انرژی (E) و انرژی نسبی (ΔE) در سطح HF/۶-۳۱G(d) و B3LYP/۶-۳۱G(d)
۹۰	نسبت به تغییرات زنجیر جانبی χ_1

- جدول ۲-۴- بررسی فاصله ها ۹۳
- جدول ۳-۴- مقادیر انرژی (E) و انرژی نسبی (ΔE) در سطح HF/۶-۳۱G(d) و B₃LYP/۶-۳۱G(d) ۹۸
- نسبت به تغییرات زنجیر جانبی χ_2 در حالی که $\chi_1 = 300$ می باشد ۹۸
- جدول ۴-۴- فاصله ها برای زوایای $\chi_1 = 300$ ۱۰۰
- جدول ۵-۴- مقادیر انرژی (E) و انرژی نسبی (ΔE) در سطح HF/۶-۳۱G(d) و B₃LYP/۶-۳۱G(d) ۱۰۶
- نسبت به تغییرات زنجیر جانبی χ_2 در حالی که $\chi_1 = 60$ می باشد ۱۰۶
- جدول ۶-۴- فاصله ها برای زاویه $\chi_1 = 60$ ۱۰۸
- جدول ۷-۴- مقادیر انرژی (E) و انرژی نسبی (ΔE) در سطح HF/۶-۳۱G(d) و B₃LYP/۶-۳۱G(d) ۱۱۳
- نسبت به تغییرات زنجیر جانبی χ_2 در حالی که $\chi_1 = 180$ می باشد ۱۱۳
- جدول ۸-۴- فاصله ها برای زاویه $\chi_1 = 180$ ۱۱۶
- جدول ۹-۴- مقادیر زوایای دووجهی و زاویه پیوندی در سطح HF/۶-۳۱G(d) ۱۱۷
- جدول ۱۰-۴- مقادیر زوایای دووجهی و زاویه پیوندی در سطح B₃LYP/۶-۳۱G(d) ۱۱۸
- جدول ۱۱-۴- مقادیر انرژی (E)، انرژی نسبی (ΔE)، با تغییر زاویه ϕ_1 در سطح HF/۶-۳۱G(d) و B₃LYP/۶-۳۱G(d) ۱۲۲
- جدول ۱۲-۴- مقادیر انرژی آزاد گیبس تصحیح شده ($\epsilon_0 + G$)، تغییرات انرژی آزاد گیبس (ΔG) با تغییر زاویه ϕ_1 در سطح HF/۶-۳۱G(d) و B₃LYP/۶-۳۱G(d) ۱۲۴
- جدول ۱۳-۴- مقادیر آنتالپی تصحیح شده ($\epsilon_0 + H$)، تغییرات آنتالپی (ΔH) با تغییر زاویه ϕ_1 در سطح HF/۶-۳۱G(d) و B₃LYP/۶-۳۱G(d) ۱۲۶
- جدول ۱۴-۴- مقادیر آنتروپی (ΔS) با تغییر زاویه ϕ_1 در سطح HF/۶-۳۱G(d) و B₃LYP/۶-۳۱G(d) ۱۲۸
- جدول ۱۵-۴- فاصله ها برای زاویه Φ_1 ۱۳۱

- جدول ۴-۱۶- مقادیر انرژی (E)، انرژی نسبی (ΔE)، با تغییر زاویه ψ_1 در سطح HF/۶-۳۱G(d) و B₃LYP/۶-۳۱G(d) ۱۳۴
- جدول ۴-۱۷- مقادیر انرژی آزاد گیبس تصحیح شده ($\epsilon_0 + G$)، تغییرات انرژی آزاد گیبس (ΔG) با تغییر زاویه ψ_1 در سطح HF/۶-۳۱G(d) و در سطح B₃LYP/۶-۳۱G(d) ۱۳۶
- جدول ۴-۱۸- مقادیر آنتالپی تصحیح شده ($\epsilon_0 + H$)، تغییرات آنتالپی (ΔH) با تغییر زاویه ψ_1 در سطح HF/۶-۳۱G(d) و در سطح B₃LYP/۶-۳۱G(d) ۱۳۸
- جدول ۴-۱۹- مقادیر آنتروپی (ΔS) با تغییر زاویه ψ_1 در سطح HF/۶-۳۱G(d) و در سطح B₃LYP/۶-۳۱G(d) ۱۴۰
- جدول ۴-۲۰- فاصله‌ها برای زاویه ψ_1 ۱۴۳
- جدول ۴-۲۱- مقادیر انرژی (E)، انرژی نسبی (ΔE)، با تغییر زاویه ϕ_2 در سطح HF/۶-۳۱G(d) و B₃LYP/۶-۳۱G(d) ۱۴۶
- جدول ۴-۲۲- مقادیر انرژی آزاد گیبس تصحیح شده ($\epsilon_0 + G$)، تغییرات انرژی آزاد گیبس (ΔG) با تغییر زاویه ϕ_2 در سطح HF/۶-۳۱G(d) و B₃LYP/۶-۳۱G(d) ۱۴۸
- جدول ۴-۲۳- مقادیر آنتالپی تصحیح شده ($\epsilon_0 + H$)، تغییرات آنتالپی (ΔH) با تغییر زاویه ϕ_2 در سطح HF/۶-۳۱G(d) و B₃LYP/۶-۳۱G(d) ۱۵۰
- جدول ۴-۲۴- مقادیر آنتروپی (ΔS) با تغییر زاویه ϕ_2 در سطح HF/۶-۳۱G(d) و B₃LYP/۶-۳۱G(d) ۱۵۲
- جدول ۴-۲۵- مقادیر انرژی (E)، انرژی نسبی (ΔE)، با تغییر زاویه ψ_2 در سطح HF/۶-۳۱G(d) و B₃LYP/۶-۳۱G(d) ۱۵۷
- جدول ۴-۲۶- مقادیر انرژی آزاد گیبس تصحیح شده ($\epsilon_0 + G$)، تغییرات انرژی آزاد گیبس (ΔG) با تغییر زاویه ψ_2 در سطح HF/۶-۳۱G(d) و B₃LYP/۶-۳۱G(d) ۱۵۹

- جدول ۴-۲۷- مقادیر آنتالپی تصحیح شده ($\epsilon_0 + H$)، تغییرات آنتالپی (ΔH) با تغییر زاویه ψ_2 در سطح
 ۱۶۱ HF/۶-۳۱G(d) و B۳LYP/۶-۳۱G(d)
- جدول ۴-۲۸- مقادیر آنتروپی (ΔS) با تغییر زاویه ψ_2 در سطح HF/۶-۳۱G(d) و
 ۱۶۳ B۳LYP/۶-۳۱G(d)
- جدول ۴-۲۹- مقادیر انرژی (E)، انرژی نسبی (ΔE)، با تغییر زاویه ϕ_3 در سطح HF/۶-۳۱G(d) و
 ۱۶۷ B۳LYP/۶-۳۱G(d)
- جدول ۴-۳۰- مقادیر انرژی آزاد گیس تصحیح شده ($\epsilon_0 + G$)، تغییرات انرژی آزاد گیس (ΔG) با تغییر
 ۱۶۹ زاویه ϕ_3 در سطح HF/۶-۳۱G(d) و B۳LYP/۶-۳۱G(d)
- جدول ۴-۳۱- مقادیر آنتالپی تصحیح شده ($\epsilon_0 + H$)، تغییرات آنتالپی (ΔH) با تغییر زاویه ϕ_3 در سطح
 ۱۷۱ HF/۶-۳۱G(d) و B۳LYP/۶-۳۱G(d)
- جدول ۴-۳۲- مقادیر آنتروپی (ΔS) با تغییر زاویه ϕ_3 در سطح HF/۶-۳۱G(d) و
 ۱۷۳ B۳LYP/۶-۳۱G(d)
- جدول ۴-۳۳- مقادیر انرژی (E)، انرژی نسبی (ΔE)، با تغییر زاویه ψ_3 در سطح HF/۶-۳۱G(d) و
 ۱۷۸ B۳LYP/۶-۳۱G(d)
- جدول ۴-۳۴- مقادیر انرژی آزاد گیس تصحیح شده ($\epsilon_0 + G$)، تغییرات انرژی آزاد گیس (ΔG) با تغییر
 ۱۸۰ زاویه ψ_3 در سطح HF/۶-۳۱G(d) و B۳LYP/۶-۳۱G(d)
- جدول ۴-۳۵- مقادیر آنتالپی تصحیح شده ($\epsilon_0 + H$)، تغییرات آنتالپی (ΔH) با تغییر زاویه ψ_3 در سطح
 ۱۸۲ HF/۶-۳۱G(d) و B۳LYP/۶-۳۱G(d)
- جدول ۴-۳۶- مقادیر آنتروپی (ΔS) با تغییر زاویه ψ_3 در سطح HF/۶-۳۱G(d) و
 ۱۸۴ B۳LYP/۶-۳۱G(d)
- جدول ۴-۳۷- مقادیر انرژی (E)، انرژی نسبی (ΔE) و زوایای دو وجهی برای کنفورمرهای
 ۱۱۱ HF/۶-۳۱G(d) در حالت ($\beta_L - X - \beta_L$) HCO-Gly-ILE-Gly-NH₂

- جدول ۴-۳۸-: مقادیر انرژی (E)، انرژی نسبی (ΔE) و زوایای دو وجهی برای صورتبندیهای
- ۱۹۲ B₃LYP/۶-۳۱G(d) در حالت (β_L -X- β_L) در سطح HCO-Gly-ILE-Gly-NH₂
- جدول ۴-۳۹-: مقادیر انرژی (E)، انرژی نسبی (ΔE) و زوایای دو وجهی برای صورتبندیهای
- ۱۹۴ HF/۶-۳۱G(d) در سطح (X- β_L - β_L) در حالت HCO-Gly-ILE-Gly-NH₂
- جدول ۴-۴۰-: مقادیر انرژی (E)، انرژی نسبی (ΔE) و زوایای دو وجهی برای صورتبندیهای
- ۱۹۵ B₃LYP/۶-۳۱G(d) در سطح X- β_L - β_L در حالت HCO-Gly-ILE-Gly-NH₂
- جدول ۴-۴۱-: مقادیر انرژی (E)، انرژی نسبی (ΔE) و زوایای دو وجهی برای صورتبندیهای
- ۱۹۷ HF/۶-۳۱G(d) در سطح β_L - β_L -X در حالت HCO-Gly-ILE-Gly-NH₂
- جدول ۴-۴۲-: مقادیر انرژی (E)، انرژی نسبی (ΔE) و زوایای دو وجهی برای صورتبندیهای
- ۱۹۸ B₃LYP/۶-۳۱G(d) در سطح β_L - β_L -X در حالت HCO-Gly-ILE-Gly-NH₂
- جدول ۴-۴۳-: انرژی آزاد گیبس (G)، تغییرات انرژی آزاد گیبس (ΔG)، آنتالپی، ΔH ، آنتروپی و ΔS در حالت
- ۲۰۱ B₃LYP/۶-۳۱(d) در سطح (β_L -X- β_L)
- جدول ۴-۴۴-: انرژی آزاد گیبس (G)، تغییرات انرژی آزاد گیبس (ΔG)، آنتالپی، ΔH ، آنتروپی و ΔS در حالت
- ۲۰۲ HF/۶-۳۱G(d) در سطح (β_L -X- β_L)
- جدول ۴-۴۵-: انرژی آزاد گیبس (G)، تغییرات انرژی آزاد گیبس (ΔG)، آنتالپی، ΔH ، آنتروپی و ΔS در حالت
- ۲۰۳ B₃LYP/۶-۳۱(d) در سطح (β_L - β_L -X)
- جدول ۴-۴۶-: انرژی آزاد گیبس (G)، تغییرات انرژی آزاد گیبس (ΔG)، آنتالپی، ΔH ، آنتروپی و ΔS در حالت
- ۲۰۴ HF/۶-۳۱G(d) در سطح (β_L - β_L -X)
- جدول ۴-۴۷-: انرژی آزاد گیبس (G)، تغییرات انرژی آزاد گیبس (ΔG)، آنتالپی، ΔH ، آنتروپی و ΔS در حالت
- ۲۰۵ B₃LYP/۶-۳۱(d) در سطح (X- β_L - β_L)
- جدول ۴-۴۸-: انرژی آزاد گیبس (G)، تغییرات انرژی آزاد گیبس (ΔG)، آنتالپی، ΔH ، آنتروپی و ΔS در حالت
- ۲۰۶ HF/۶-۳۱G(d) در سطح (X- β_L - β_L)

جدول ۴-۴۹- مقادیر زوایای پیچشی Φ_i و Ψ_i بهینه شده به همراه مقادیر جفت زوایای پیچشی ایده آل

۲۰۷

در سطح HF/۶-۳۱G(d)

جدول ۴-۵۰- مقادیر زوایای پیچشی Φ_i و Ψ_i بهینه شده به همراه مقادیر جفت زوایای پیچشی ایده آل در

۲۰۸

سطح B₃LYP/۶-۳۱(d)

فهرست نمودارها

صفحه	عنوان
۹۱	نمودار ۱-۴- منحنی تغییرات انرژی (ΔE) بر حسب تغییرات χ_1 در سطح HF/۶-۳۱G(d)
۹۱	نمودار ۲-۴- منحنی تغییرات انرژی (ΔE) بر حسب تغییرات χ_1 در سطح B ₃ LYP/۶-۳۱G(d)
۹۹	نمودار ۳-۴- منحنی تغییرات انرژی نسبت به تغییرات χ_2 در حالتی که $\chi_1 = -60$ می باشد در سطح HF/۶-۳۱G(d)
۹۹	نمودار ۴-۴- منحنی تغییرات انرژی نسبت به تغییرات χ_2 در حالتی که $\chi_1 = -60$ می باشد در سطح B ₃ LYP/۶-۳۱G(d)
۱۰۷	نمودار ۵-۴- منحنی تغییرات انرژی نسبت به تغییرات χ_2 در حالتی که $\chi_1 = 60$ می باشد در سطح HF/۶-۳۱G(d)
۱۰۷	نمودار ۶-۴- منحنی تغییرات انرژی نسبت به تغییرات χ_2 در حالتی که $\chi_1 = 60$ می باشد در سطح B ₃ LYP/۶-۳۱G(d)
۱۱۴	نمودار ۷-۴- منحنی تغییرات انرژی نسبت به تغییرات χ_2 در حالتی که $\chi_1 = 180$ می باشد در سطح HF/۶-۳۱G(d)
۱۱۴	نمودار ۸-۴- منحنی تغییرات انرژی نسبت به تغییرات χ_2 در حالتی که $\chi_1 = 180$ می باشد در سطح B ₃ LYP/۶-۳۱G(d)
۱۲۳	نمودار ۹-۴- منحنی تغییرات ΔE بر حسب تغییرات ϕ_1 در سطح HF/۶-۳۱G(d)
۱۲۳	نمودار ۱۰-۴- منحنی تغییرات ΔE بر حسب تغییرات ϕ_1 در سطح B ₃ LYP/۶-۳۱G(d)
۱۲۵	نمودار ۱۱-۴- منحنی تغییرات ΔG بر حسب تغییرات ϕ_1 در سطح HF/۶-۳۱G(d)
۱۲۵	نمودار ۱۲-۴- منحنی تغییرات ΔG بر حسب تغییرات ϕ_1 در سطح B ₃ LYP/۶-۳۱G(d)
۱۲۷	نمودار ۱۳-۴- منحنی تغییرات ΔH بر حسب تغییرات ϕ_1 در سطح HF/۶-۳۱G(d)
۱۲۷	نمودار ۱۴-۴- منحنی تغییرات ΔH بر حسب تغییرات ϕ_1 در سطح B ₃ LYP/۶-۳۱G(d)
۱۲۹	نمودار ۱۵-۴- منحنی تغییرات ΔS بر حسب تغییرات ϕ_1 در سطح HF/۶-۳۱G(d)
۱۲۹	نمودار ۱۶-۴- منحنی تغییرات ΔS بر حسب تغییرات ϕ_1 در سطح B ₃ LYP/۶-۳۱G(d)

- نمودار ۴-۱۷- منحنی تغییرات ΔE بر حسب تغییرات ψ_1 در سطح HF/۶-۳۱G(d) ۱۳۵
- نمودار ۴-۱۸- منحنی تغییرات ΔE بر حسب تغییرات ψ_1 در سطح B₃LYP/۶-۳۱G(d) ۱۳۵
- نمودار ۴-۱۹- منحنی تغییرات ΔG بر حسب تغییرات ψ_1 در سطح HF/۶-۳۱G(d) ۱۳۷
- نمودار ۴-۲۰- منحنی تغییرات ΔG بر حسب تغییرات ψ_1 در سطح B₃LYP/۶-۳۱G(d) ۱۳۷
- نمودار ۴-۲۱- منحنی تغییرات ΔH بر حسب تغییرات ψ_1 در سطح HF/۶-۳۱G(d) ۱۳۹
- نمودار ۴-۲۲- منحنی تغییرات ΔH بر حسب تغییرات ψ_1 در سطح B₃LYP/۶-۳۱G(d) ۱۳۹
- نمودار ۴-۲۳- منحنی تغییرات ΔS بر حسب تغییرات ψ_1 در سطح HF/۶-۳۱G(d) ۱۴۱
- نمودار ۴-۲۴- منحنی تغییرات ΔS بر حسب تغییرات ψ_1 در سطح B₃LYP/۶-۳۱G(d) ۱۴۱
- نمودار ۴-۲۵- منحنی تغییرات ΔE بر حسب تغییرات ϕ_2 در سطح HF/۶-۳۱G(d) ۱۴۷
- نمودار ۴-۲۶- منحنی تغییرات ΔE بر حسب تغییرات ϕ_2 در سطح B₃LYP/۶-۳۱G(d) ۱۴۷
- نمودار ۴-۲۷- منحنی تغییرات ΔG بر حسب تغییرات ϕ_2 در سطح HF/۶-۳۱G(d) ۱۴۹
- نمودار ۴-۲۸- منحنی تغییرات ΔG بر حسب تغییرات ϕ_2 در سطح B₃LYP/۶-۳۱G(d) ۱۴۹
- نمودار ۴-۲۹- منحنی تغییرات ΔH بر حسب تغییرات ϕ_2 در سطح HF/۶-۳۱G(d) ۱۵۱
- نمودار ۴-۳۰- منحنی تغییرات ΔH بر حسب تغییرات ϕ_2 در سطح B₃LYP/۶-۳۱G(d) ۱۵۱
- نمودار ۴-۳۱- منحنی تغییرات ΔS بر حسب تغییرات ϕ_2 در سطح HF/۶-۳۱G(d) ۱۵۳
- نمودار ۴-۳۲- منحنی تغییرات ΔS بر حسب تغییرات ϕ_2 در سطح B₃LYP/۶-۳۱G(d) ۱۵۳
- نمودار ۴-۳۳- منحنی تغییرات ΔE بر حسب تغییرات ψ_2 در سطح HF/۶-۳۱G(d) ۱۵۸
- نمودار ۴-۳۴- منحنی تغییرات ΔE بر حسب تغییرات ψ_2 در سطح B₃LYP/۶-۳۱G(d) ۱۵۸
- نمودار ۴-۳۵- منحنی تغییرات ΔG بر حسب تغییرات ψ_2 در سطح HF/۶-۳۱G(d) ۱۶۰
- نمودار ۴-۳۶- منحنی تغییرات ΔG بر حسب تغییرات ψ_2 در سطح B₃LYP/۶-۳۱G(d) ۱۶۰
- نمودار ۴-۳۷- منحنی تغییرات ΔH بر حسب تغییرات ψ_2 در سطح HF/۶-۳۱G(d) ۱۶۲
- نمودار ۴-۳۸- منحنی تغییرات ΔH بر حسب تغییرات ψ_2 در سطح B₃LYP/۶-۳۱G(d) ۱۶۲
- نمودار ۴-۳۹- منحنی تغییرات ΔS بر حسب تغییرات ψ_2 در سطح HF/۶-۳۱G(d) ۱۶۴

- ۱۶۴ نمودار ۴-۴۰- منحنی تغییرات ΔS بر حسب تغییرات ψ_2 در سطح B3LYP/6-31G(d)
- ۱۶۸ نمودار ۴-۴۱- منحنی تغییرات ΔE بر حسب تغییرات ϕ_3 در سطح HF/6-31G(d)
- ۱۶۸ نمودار ۴-۴۲- منحنی تغییرات ΔE بر حسب تغییرات ϕ_3 در سطح B3LYP/6-31G(d)
- ۱۷۰ نمودار ۴-۴۳- منحنی تغییرات ΔG بر حسب تغییرات ϕ_3 در سطح HF/6-31G(d)
- ۱۷۰ نمودار ۴-۴۴- منحنی تغییرات ΔG بر حسب تغییرات ϕ_3 در سطح B3LYP/6-31G(d)
- ۱۷۲ نمودار ۴-۴۵- منحنی تغییرات ΔH بر حسب تغییرات ϕ_3 در سطح HF/6-31G(d)
- ۱۷۲ نمودار ۴-۴۶- منحنی تغییرات ΔH بر حسب تغییرات ϕ_3 در سطح B3LYP/6-31G(d)
- ۱۷۴ نمودار ۴-۴۷- منحنی تغییرات ΔS بر حسب تغییرات ϕ_3 در سطح HF/6-31G(d)
- ۱۷۴ نمودار ۴-۴۸- منحنی تغییرات ΔS بر حسب تغییرات ϕ_3 در سطح B3LYP/6-31G(d)
- ۱۷۹ نمودار ۴-۴۹- منحنی تغییرات ΔE بر حسب تغییرات ψ_3 در سطح HF/6-31G(d)
- ۱۷۹ نمودار ۴-۵۰- منحنی تغییرات ΔE بر حسب تغییرات ψ_3 در سطح B3LYP/6-31G(d)
- ۱۸۱ نمودار ۴-۵۱- منحنی تغییرات ΔG بر حسب تغییرات ψ_3 در سطح HF/6-31G(d)
- ۱۸۱ نمودار ۴-۵۲- منحنی تغییرات ΔG بر حسب تغییرات ψ_3 در سطح B3LYP/6-31G(d)
- ۱۸۳ نمودار ۴-۵۳- منحنی تغییرات ΔH بر حسب تغییرات ψ_3 در سطح HF/6-31G(d)
- ۱۸۳ نمودار ۴-۵۴- منحنی تغییرات ΔH بر حسب تغییرات ψ_3 در سطح B3LYP/6-31G(d)
- ۱۸۵ نمودار ۴-۵۵- منحنی تغییرات ΔS بر حسب تغییرات ψ_3 در سطح HF/6-31G(d)
- ۱۸۵ نمودار ۴-۵۶- منحنی تغییرات ΔS بر حسب تغییرات ψ_3 در سطح B3LYP/6-31G(d)